

УДК 621.914.6.001.57

## МОДЕЛЬ ОСНОВНОГО ЧЕРВЯКА ФРЕЗЫ ДЛЯ НАРЕЗАНИЯ ЗУБЧАТЫХ КОЛЕС

© 2012 С. П. Андросов<sup>1</sup>, И. Г. Браилов<sup>2</sup>, Д. В. Визигин<sup>1</sup><sup>1</sup>Омский государственный технический университет<sup>2</sup>Сибирская государственная автомобильно-дорожная академия

Определены уравнения винтовых поверхностей основного червяка фрезы для нарезания зубчатых колес, выраженные параметрическими векторными функциями. Разработана компьютерная программа для расчета и построения модели основного червяка фрезы.

*Червячная модульная фреза, основной червяк, векторная функция, моделирование.*

При проектировании и моделировании червячных модульных фрез одним из главных вопросов является определение профиля их зубьев [1]. Чтобы найти профиль зубьев фрезы и определить его характеристики, необходимо последовательно решить ряд задач: записать уравнение винтовой поверхности основного червяка; записать уравнения винтовой стружечной канавки и передней поверхности зубьев фрезы; выразить уравнение режущих кромок зубьев фрезы; образовать и записать уравнения боковых заточенных поверхностей зубьев фрезы; найти уравнения профиля в соответствующем сечении и определить его характеристики.

В данной статье рассматривается задача определения уравнений винтовых поверхностей основного червяка фрезы в матрично-векторной форме и разработки компьютерной модели основного червяка.

В настоящее время в производстве зубчатых колес наибольшее распространение получили червячные модульные фрезы, профилируемые и изготавливаемые на основе исходного архимедова червяка [1, 2]. Основной архимедов червяк представляет собой резьбовое изделие с трапецидальным профилем резьбы в осевом сечении. Архимедова винтовая поверхность образуется при винтовом движении профиля. Сложное винтовое движение состоит из вращательного вокруг оси и

поступательного движения профиля вдоль этой же оси. Для определения профиля обкатных инструментов, как известно, применяются графические, графоаналитические и аналитические методы. Необходимая точность достигается только аналитическими методами [3]. В этой связи в работе рассматривается аналитическое описание профиля основного червяка фрезы векторными функциями.

Рассмотрим профиль зуба фрезы в осевом сечении (рис.1). Профиль имеет пять участков. Участки  $O_1A$  и  $O_5D$  являются образующими правой и левой боковых винтовых поверхностей червяка. Участок  $O_3C$  образует периферийную винтовую поверхность червяка, а участки  $AO_3$  и  $CO_5$  – поверхности закругления вершины зубьев. Следует отметить, что участки закругления ножки зуба при описании профиля не рассматриваются, так как они не принимают участия в процессе резания и формообразования зубьев нарезаемого колеса.

Угол профиля основного червяка определяется зависимостью

$$\operatorname{tg} \alpha_{x0} = \frac{\operatorname{tg} \alpha_0}{\cos \gamma_{m0}}, \quad (1)$$

где  $\alpha_0$  – угол профиля исходного контура;  $\gamma_{m0}$  – угол подъема винтовой линии на делительном цилиндре.

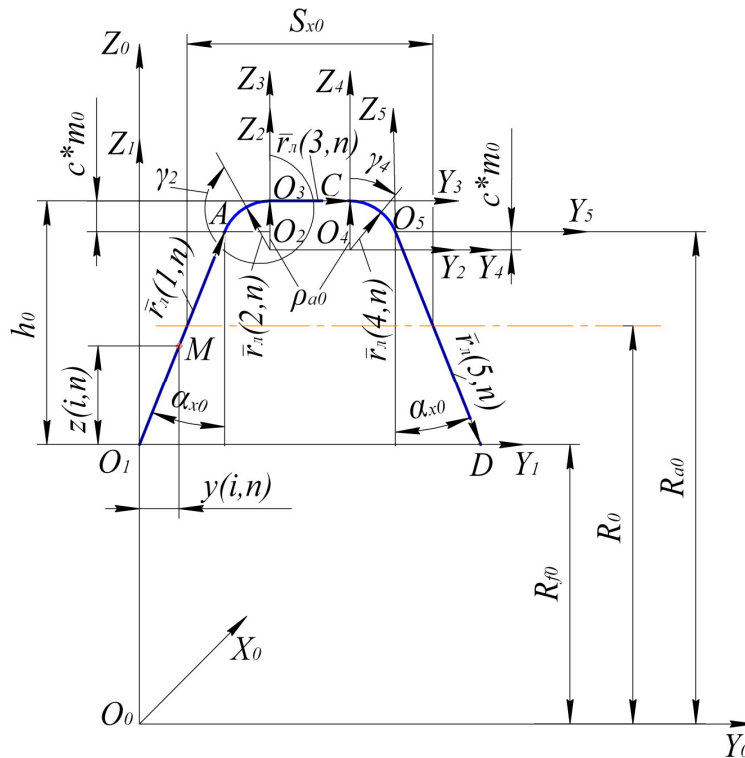


Рис. 1. Профиль основного червяка:

$r_{a0}$  – радиус закругления;  $\alpha_{x0}$  – угол профиля;  $h_0$  – высота профиля;  $S_{x0}$  – толщина профиля;  $m_0$  – модуль;  $c^*$  – коэффициент радиального зазора;  $R_{f0}$  – радиус внутреннего цилиндра;  $R_0$  – радиус делительного цилиндра;  $R_{a0}$  – радиус наружного цилиндра

Участки профиля в своих локальных системах координат  $Y_1O_1Z_1X_1$ ,  $Y_2O_2Z_2X_2$ ,  $Y_3O_3Z_3X_3$ ,  $Y_4O_4Z_4X_4$  и  $Y_5O_5Z_5X_5$  описываются векторами

$$\bar{r}_n(i,n) = \begin{bmatrix} 0 \\ y(i,n) \\ z(i,n) \\ 1 \end{bmatrix}, \quad (2)$$

где  $i$  – номер вектора,  $i = 1, \dots, 5$ ;  $n$  – количество точек на векторе,  $0 \leq n \leq p$ ,  $p$  – любое целое число.

Координаты точек на участках профиля, например точки  $M$  (рис. 1), определяются выражениями:

$$\begin{aligned} y(i,n) &= l(i,n) \bar{e}_y(\bar{r}_n(i,n)); \\ z(i,n) &= l(i,n) \bar{e}_z(\bar{r}_n(i,n)), \end{aligned} \quad (3)$$

где  $\bar{e}_y(\bar{r}_n(i,n))$  и  $\bar{e}_z(\bar{r}_n(i,n))$  – орты векторов  $\bar{r}_n(i,n)$ ;  $l(i,n)$  – выбранное значение длины векторов  $\bar{r}_n(i,n)$ ,  $0 \leq l(i,n) \leq |\bar{r}_n(i,n)|$ .

Участки закругления профиля  $AO_3$  и  $CO_5$  описываются векторами:

$$\begin{aligned} \bar{r}_n(2,n) &= \begin{bmatrix} 0 \\ r_{a0} \sin g_2 \\ r_{a0} \cos g_2 \\ 1 \end{bmatrix}; \\ \bar{r}_n(4,n) &= \begin{bmatrix} 0 \\ r_{a0} \sin g_4 \\ r_{a0} \cos g_4 \\ 1 \end{bmatrix}, \end{aligned} \quad (4)$$

где параметрические углы  $g_2$  и  $g_4$  имеют значения:  $270^\circ - \alpha_{x0} \leq g_2 \leq 360^\circ$ ;  $0^\circ \leq g_4 \leq 90^\circ - \alpha_{x0}$ .

Радиус закругления  $r_{a0}$  определяется по формуле [4]:

$$r_{a0} = \frac{c^* m_0}{1 - \sin a_{x0}}. \quad (5)$$

В глобальной системе координат  $Y_0O_0Z_0X_0$  векторы (2) запишутся:

$$\bar{r}_0(1,n) = [M_{10}] \bar{r}_x(1,n) = \begin{bmatrix} 1 & 0 & 0 & 0 \\ 0 & 1 & 0 & 0 \\ 0 & 0 & 1 & R_{f0} \\ 0 & 0 & 0 & 1 \end{bmatrix} \times$$

$$\times \begin{bmatrix} 0 \\ y(1,n) \\ z(1,n) \\ 1 \end{bmatrix} = \begin{bmatrix} 0 \\ y(1,n) \\ R_{f0} + z(1,n) \\ 1 \end{bmatrix};$$

$$\bar{r}_0(2,n) = [M_{20}] \bar{r}_x(2,n) = \begin{bmatrix} 1 & 0 & 0 & 0 \\ 0 & 1 & 0 & B \\ 0 & 0 & 1 & R_{a0} - r_{a0} \\ 0 & 0 & 0 & 1 \end{bmatrix} \times$$

$$\times \begin{bmatrix} 0 \\ y(2,n) \\ z(2,n) \\ 1 \end{bmatrix} = \begin{bmatrix} 0 \\ B + y(2,n) \\ R_{a0} - r_{a0} + z(2,n) \\ 1 \end{bmatrix},$$

где  $B = (h_0 - c^* m_0) \operatorname{tg} a_{x0} + r_{a0} \cos a_{x0}$ ;

$$\begin{aligned} \bar{r}_0(3,n) &= [M_{30}] \bar{r}_x(3,n) \\ &= \begin{bmatrix} 1 & 0 & 0 & 0 \\ 0 & 1 & 0 & B \\ 0 & 0 & 1 & R_{a0} \\ 0 & 0 & 0 & 1 \end{bmatrix} \begin{bmatrix} 0 \\ y(3,n) \\ 0 \\ 1 \end{bmatrix} = \\ &= \begin{bmatrix} 0 \\ B + y(3,n) \\ R_{a0} \\ 1 \end{bmatrix}; \end{aligned} \quad (6)$$

$$\begin{aligned} \bar{r}_0(4,n) &= [M_{40}] \bar{r}_x(4,n) = \\ &= \begin{bmatrix} 1 & 0 & 0 & 0 \\ 0 & 1 & 0 & B_1 \\ 0 & 0 & 1 & R_{a0} - \rho_{a0} \\ 0 & 0 & 0 & 1 \end{bmatrix} \begin{bmatrix} 0 \\ y(4,n) \\ z(4,n) \\ 1 \end{bmatrix} = \\ &= \begin{bmatrix} 0 \\ B_1 + y(4,n) \\ R_{a0} - r_{a0} + z(4,n) \\ 1 \end{bmatrix}, \end{aligned}$$

где  $B_1 = S_{x0} + c^* m_0 \operatorname{tg} \alpha_{x0} - \rho_{a0} \cos \alpha_{x0}$ ;

$$\begin{aligned} \bar{r}_0(5,n) &= [M_{50}] \bar{r}_x(5,n) = \\ &= \begin{bmatrix} 1 & 0 & 0 & 0 \\ 0 & 1 & 0 & S_{x0} + c^* m_0 \operatorname{tg} \alpha_{x0} \\ 0 & 0 & 1 & R_{f0} + h_0 - c^* m_0 \\ 0 & 0 & 0 & 1 \end{bmatrix} \times \end{aligned}$$

$$\times \begin{bmatrix} 0 \\ y(5,n) \\ z(5,n) \\ 1 \end{bmatrix} = \begin{bmatrix} 0 \\ S_{x0} + c^* m_0 \operatorname{tg} \alpha_{x0} + y(5,n) \\ R_{f0} + h_0 - c^* m_0 + z(5,n) \\ 1 \end{bmatrix},$$

где  $[M_{i0}]$  – матрицы параллельных переносов локальных систем координат  $X_1O_1Y_1X_1$ ,  $X_2O_2Y_2X_2$ ,  $X_3O_3Y_3X_3$ ,  $X_4O_4Y_4X_4$  и  $X_5O_5Y_5X_5$ , соответственно.

Произвольная точка  $M$  архимедовой винтовой поверхности в системе координат фрезы  $X_0O_0Y_0Z_0$ , (рис. 2,а) описывается векторной функцией:

$$\bar{r}(i,n) = [M] \bar{r}_0(i,n), \quad (7)$$

где  $[M]$  – матрица преобразования поворотных движений против часовой стрелки вокруг оси  $O_0Y_0$  и поступательных движений вдоль этой оси:

$$[M] = \begin{bmatrix} \cos \varphi_{\text{ч}} & 0 & -\sin \varphi_{\text{ч}} & 0 \\ 0 & 1 & 0 & a_{\text{ч}} \varphi_{\text{ч}} \\ \sin \varphi_{\text{ч}} & 0 & \cos \varphi_{\text{ч}} & 0 \\ 0 & 0 & 0 & 1 \end{bmatrix}. \quad (8)$$

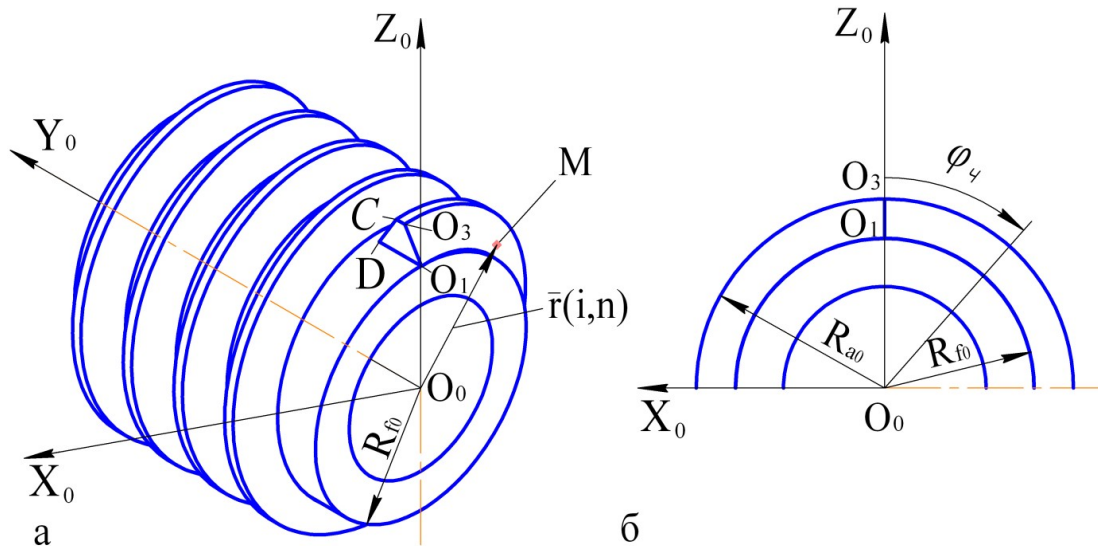


Рис. 2. Образование винтовой поверхности основного червяка

В формуле (8) угол  $j_\psi$  (рис. 2,б) является параметрическим углом поворота винтовой поверхности относительно начального положения. Выражение  $a_\psi j_\psi$  определяет проекцию вектора перемещения вдоль оси  $O_0Y_0$ . Величина  $a_\psi$  является винтовым параметром архимедова червяка. Значение винтового параметра  $a_\psi$  определяется выражением

$$a_\psi = \frac{P_{x0}}{2\pi}, \tag{10}$$

где  $P_{x0}$  – осевой шаг червяка.

По делительному цилиндру шаг  $P_{x0}$  вычисляется по формуле

$$P_{x0} = \frac{p m_0}{\cos g_{m0}}. \tag{11}$$

Максимальное значение угла  $\varphi_{\psi max}$  определяется зависимостью

$$\varphi_{\psi max} = \frac{L_p}{a_\psi}, \tag{12}$$

где  $L_p$  – длина рабочего участка фрезы.

После перемножения матрицы  $[M]$  и векторов  $\vec{r}_0(i, n)$  и преобразований получаем:

уравнение винтовой поверхности правой стороны витка червяка

$$\vec{r}(1, n) = \begin{bmatrix} -(R_{f0} + z(1, n)) \sin \varphi_\psi \\ y(1, n) + a_\psi \varphi_\psi \\ (R_{f0} + z(1, n)) \cos \varphi_\psi \end{bmatrix}; \tag{13}$$

уравнение винтовой поверхности правого участка закругления витка червяка

$$\vec{r}(2, n) = \begin{bmatrix} -(R_{a0} - r_{a0} + z(2, n)) \sin j_\psi \\ B + y(2, n) + a_\psi j_\psi \\ (R_{a0} - r_{a0} + z(2, n)) \cos j_\psi \end{bmatrix}; \tag{14}$$

уравнение винтовой периферийной стороны витка червяка

$$\vec{r}(3, n) = \begin{bmatrix} -R_{a0} \sin j_\psi \\ B + y(3, n) + a_\psi j_\psi \\ R_{a0} \cos j_\psi \end{bmatrix}; \tag{15}$$

уравнение винтовой поверхности левого участка закругления витка червяка

$$\bar{r}(4, n) = \begin{bmatrix} -(R_{a0} - r_{a0} + z(4, n)) \sin j_{\varphi} \\ B_1 + y(4, n) + a_{\varphi} j_{\varphi} \\ (R_{a0} - r_{a0} + z(4, n)) \cos j_{\varphi} \end{bmatrix}; \quad (16)$$

уравнение винтовой поверхности  
левой стороны витка червяка

$$\bar{r}(5, n) = \begin{bmatrix} -(R_{f0} + h_0 - c^* m_0 + z(5, n)) \sin \varphi_{\varphi} \\ S_{x0} + c^* m_0 \operatorname{tg} \alpha_{x0} + y(5, n) + a_{\varphi} \varphi_{\varphi} \\ (R_{f0} + h_0 - c^* m_0 + z(5, n)) \cos \varphi_{\varphi} \end{bmatrix}. \quad (17)$$

В общем виде векторная функция, описывающая винтовые поверхности основного червяка фрезы запишется:

$$\bar{r}(i, n) = \begin{bmatrix} -R(i, n) \sin \varphi_{\varphi} \\ Y(i, n) + a_{\varphi} \varphi_{\varphi} \\ R(i, n) \cos \varphi_{\varphi} \end{bmatrix}, \quad (18)$$

где  $R(i, n)$  – текущий радиус,  
 $R_{f0} \leq R(i, n) \leq R_{a0}$ ;  $Y(i, n)$  – текущая координата профиля по оси  $O_0Y_0$ ,  
 $0 \leq Y(i, n) \leq S_{x0} + h_0 \operatorname{tg} \alpha_{x0}$ .

На основании данной методики описания винтовых поверхностей основного червяка фрезы авторами разработана программа с использованием средств языка

*Achion script 3* для расчёта координат и визуализации поверхностей червяка. На рис. 3 приведена блок-схема расчёта и построения модели основного червяка фрезы. На рис. 4 показана компьютерная модель основного червяка фрезы.

Разработанная модель имеет существенные отличия от известных 3D моделей основного червяка фрезы [5], которые реализуются в графических редакторах с использованием инструментальных средств в виде чертежа и дальнейшим его перемещением и поворотом. Особенность предложенной модели заключается в том, что она является аналитической. В последующих этапах работы данная модель может использоваться при создании аналитической модели червячной модульной фрезы для определения уравнений режущих кромок и уравнений затылованных поверхностей её зубьев. Наряду с вычислением координат режущих кромок каждого из зубьев фрезы такая модель позволит определять характеристики профиля, например, вычислять касательные и нормали в любой точке кромки, необходимые при исследовании параметров процесса резания и формообразования при зубофрезеровании.

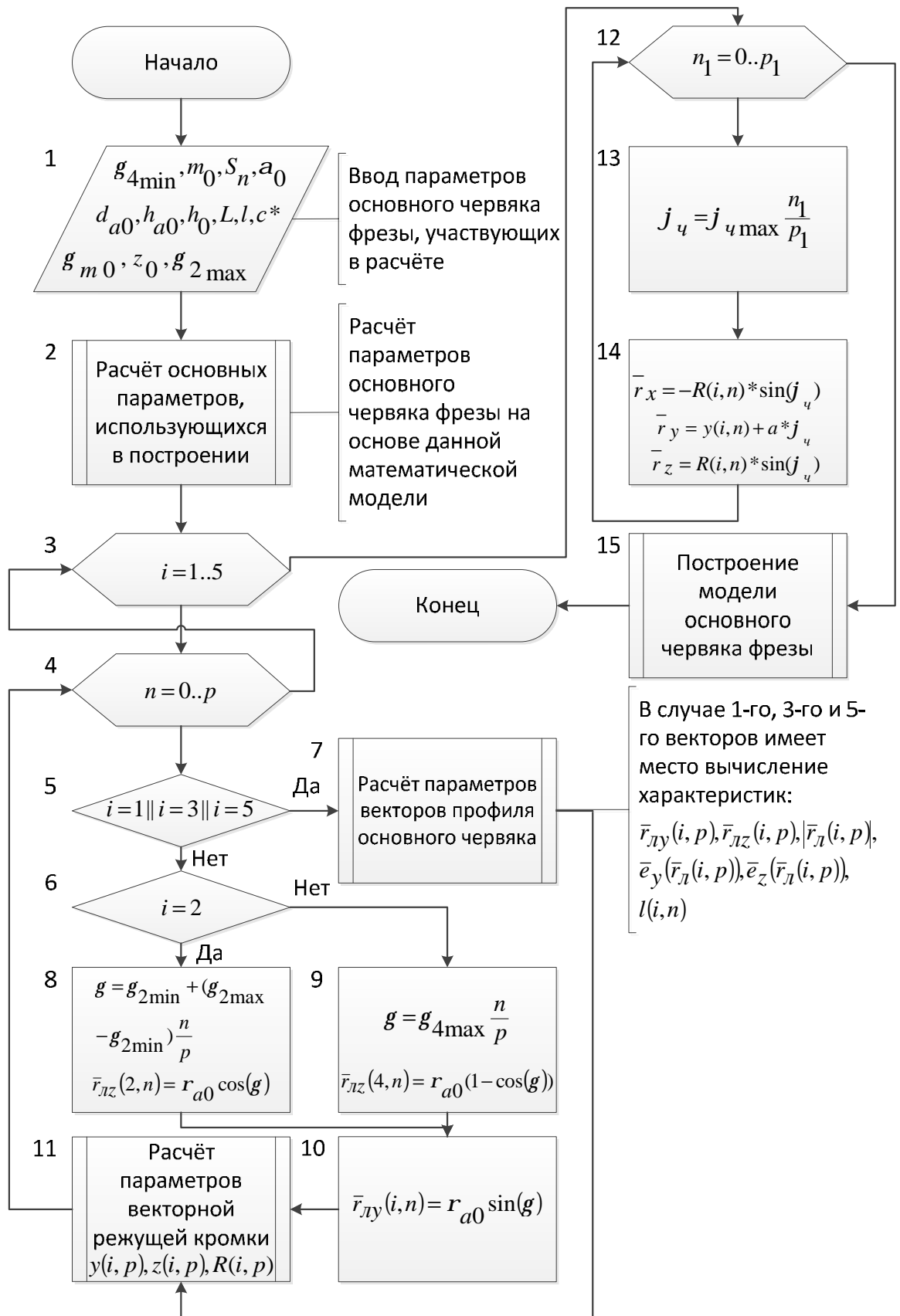


Рис. 3. Блок-схема алгоритма и построения модели основного червяка

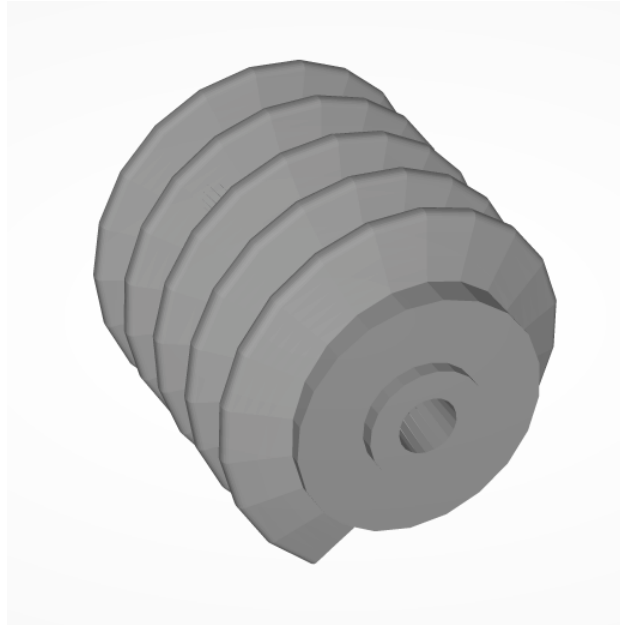


Рис. 4. Компьютерная модель основного червяка фрезы

#### Библиографический список

1. Иноземцев, Г. Г. Проектирование металлорежущих инструментов [Текст]: учеб. пособие / Г. Г. Иноземцев. – Машиностроение, 1984. – 272 с.
2. Фингер, М. Л. Цилиндрические колеса. Теория и практика изготовления [Текст] / М. Л. Фингер. – М.: Научная книга, 2005. – 368 с.
3. Режущий инструмент [Текст]: учеб. пособие / А. А. Рыжкин [и др.]. – Ростов н / Д: Феникс, 2009. – 405 с.
4. Полохин, О. В. Нарезание зубчатых профилей инструментами червячного типа [Текст]: справочник / О. В. Полохин, А. С. Тарапанов, Г. А. Харламов; под ред. Г. А. Харламова. – М.: Машиностроение, 2007. – 240 с.
5. Тахман, С. И. Создание 3D модели процесс зубофрезерования [Текст] / С. И. Тахман, Л. В. Рохин, О. А. Тюкалов // Вестн. Курганского гос. ун-та, 2010. - № 1. – С. 118-120.

### MODEL OF THE MAIN WORM OF MILLING CUTTERS FOR GEAR CUTTING

© 2012 S. P. Androsov<sup>1</sup>, I. G. Brailov<sup>2</sup>, D. V. Vizigin<sup>1</sup>

<sup>1</sup>Omsk State Technical University

<sup>2</sup>Siberian State Automobile-Road Academy

The equations of helical surfaces of the main worm of milling cutters designed for gear cutting are defined. They are expressed with parameter vector functions. A computer program is developed for the calculation and construction of the model of the milling cutter main worm.

*Module hob, main gear, vector function, modelling.*

### Информация об авторах

**Андросов Сергей Павлович**, кандидат технических наук, доцент кафедры сопротивления материалов, Омский государственный технический университет. E-mail: [asp57@list.ru](mailto:asp57@list.ru). Область научных интересов: моделирование формообразования операций механообработки, в том числе при зубофрезеровании.

**Браилов Иван Григорьевич**, доктор технических наук, профессор кафедры прикладной механики, Сибирская государственная автомобильно-дорожная академия. Область научных интересов: моделирование формообразования операций механообработки, в том числе при зубофрезеровании.

**Визигин Денис Валерьевич**, студент факультета информационных технологий и компьютерных систем, Омский государственный технический университет. E-mail: [denis.vizigin@yandex.ru](mailto:denis.vizigin@yandex.ru). Область научных интересов: моделирование формообразования операций механообработки, в том числе при зубофрезеровании.

**Androsov Sergey Pavlovich**, candidate of technical sciences, associate professor of the department of strength of materials, Omsk State Technical University. E-mail: [asp57@list.ru](mailto:asp57@list.ru). Area of research: simulation of forming operations of machine work including gear milling.

**Brailov Ivan Grigoryevich**, doctor of technical sciences, professor of the department of applied mechanics, Siberian State Automobile-Road Academy. Area of research: simulation of forming operations of machine work including gear milling.

**Vizigin Denis Valeryevich**, student of the faculty of information technologies and computer systems, Omsk State Technical University. E-mail: [denis.vizigin@yandex.ru](mailto:denis.vizigin@yandex.ru). Area of research: simulation of forming operations of machine work including gear milling.